

4. előadás

- **A gázdinamika alapjai**
- **Sugárzási transzport**
- **Ütközésmentes abszorpció lézerplazmában:**
 - **rezonancia abszorpció**
 - **Brunel abszorpció**

A gázdinamika alapjai

- Mielőtt a lézerfény-plazma kölcsönhatásokra rátérnénk, összefoglaljuk a gázdinamika alapjait:
Szilárdtest, folyadék: nehezen összenyomható (~ 1000 atm).
összenyomhatatlan közelítés, kis sűrűségváltozások
karakterisztikus sebessége $v < c_s$.
- Kis sűrűségváltozás: gáz is összenyomhatatlannak tekinthető,
de $\Delta p \sim p \Rightarrow$ kompresszibilis, a gázdinamika nagy
változásokra is jó.
- Nagy nyomás- és hőmérsékletváltozás \Rightarrow állapotegyenlet
változik (ionizáció, plazma).
- Lézerek: nagy változások, nagy nyomás, magas
hőmérséklet, fázisátalakulás, ionizáció.
- Gázdinamika alapjai: bombák, robbantások
- (Ya. B. Zeldovich, Yu. P. Raizer: Physics of Shock Waves and Related
Plasma Phenomena, Academic Press, 1966)

Alapegyenletek megmaradási tételekből

- Folytonos közeg: „infinitezimális elemek összege”
- 1 pont = 1 kis térfogatelem
- $\mathbf{u} = \mathbf{u}(x, y, z, t)$ sebességeloszlás
- $p = p(x, y, z, t)$ nyomáseloszlás
- $\rho = \rho(x, y, z, t)$ sűrűségeloszlás
(ρ, p termodinamikai mennyiség)
- A többi termodinamikai mennyiség (T, e, h) állapotegyenletekből:
- 5 mennyiség határozza meg a folyadék állapotát.

1. Anyagmegmaradás:

- Tek. V_0 térfogatot!

$$m = \int_{V_0} \rho dV$$

Változás: a felületen való kiáramlás

$$\oint_{V_0} \rho \mathbf{u} df$$

$$\frac{\partial}{\partial t} \int \rho dV = - \oint \rho \mathbf{u} df = - \int \operatorname{div} \rho \mathbf{u} dV \quad (\text{Gauss-tétel})$$

tetszőleges kis térfogatra:

$$\frac{\partial \rho}{\partial t} + \nabla \cdot (\rho \mathbf{u}) = \frac{\partial \rho}{\partial t} + \nabla \cdot \mathbf{j} = 0 \quad (\text{kontinuitás-egyenlet})$$

Összenyomhatatlan esetre:

$$\nabla \cdot (\rho \mathbf{u}) = 0$$

2. Newton-törvény:

térfogatelemre ható erő:

$$-\oint p d\mathbf{f} = -\int \nabla p dV$$

Egységnyi térfogat: $-grad\ p$ erő!

Térfogatelem mozgásegyenlete:

$$\rho \frac{d\mathbf{u}}{dt} = -grad\ p$$

$d\mathbf{u}/dt$: nem rögzített pontban, hanem a folyadékrezecske gyorsulása

Ez : adott pontbeli változás

+ a dt alatt megtett $d\mathbf{r}$ út két végpontja közti
sebesség-különbség ugyanazon t -ben

$$d\mathbf{u} = \frac{\partial \mathbf{u}}{\partial t} dt + (d\mathbf{r} \nabla) \mathbf{u}$$

$$\frac{d\mathbf{u}}{dt} = \frac{\partial \mathbf{u}}{\partial t} + (\mathbf{u} \nabla) \mathbf{u}$$

$$\Rightarrow \text{Euler-egyenlet: } \frac{\partial \mathbf{u}}{\partial t} + (\mathbf{u} \nabla) \mathbf{u} = -\frac{1}{\rho} \nabla p$$

(disszipáció, viszkozitás elhanyagolva, ideális folyadék).

3. Energiamegmaradás:

- egységnyi térfogat energiája: $\rho u^2/2 + \rho e$ (e az egységnyi tömeg belső energiája)

$$\frac{\partial}{\partial t} \left(\frac{\rho u^2}{2} + \rho e \right) = ?$$

$$\frac{\partial}{\partial t} \frac{\rho u^2}{2} = \frac{u^2}{2} \frac{\partial \rho}{\partial t} + \rho \mathbf{u} \frac{\partial \mathbf{u}}{\partial t} = -\frac{u^2}{2} \operatorname{div}(\rho \mathbf{u}) - \mathbf{u} \operatorname{grad} p - \rho \mathbf{u}(\mathbf{u} \nabla) \mathbf{u}$$

$$\text{felhasználva : } \mathbf{u}(\mathbf{u} \nabla) \mathbf{u} = \frac{1}{2} \mathbf{u} \nabla u^2,$$

$$de = TdS - pdV; \quad h = e + pV = e + p/\rho; \quad dh = TdS + \frac{1}{\rho} dp$$

$$\nabla p = \rho dh - \rho T \nabla S$$

$$\Rightarrow \frac{\partial}{\partial t} \frac{\rho u^2}{2} = -\frac{u^2}{2} \operatorname{div}(\rho \mathbf{u}) - \rho \mathbf{u} \nabla \left(h + \frac{u^2}{2} \right) + \rho T \mathbf{u} \nabla S$$

Felhasználjuk, hogy $de = TdS - pdV = TdS + p/\rho^2 d\rho$

$$d(\rho e) = e d\rho + \rho de = (h - p/\rho) d\rho + \rho T dS + p/\rho d\rho = h d\rho + \rho T dS.$$

Ezzel:
$$\frac{\partial \rho e}{\partial t} = h \frac{\partial \rho}{\partial t} + \rho T \frac{\partial S}{\partial t} = -h \operatorname{div}(\rho \mathbf{u}) - \rho T \mathbf{u} \nabla S$$

izentropikus eset:
$$\frac{\partial}{\partial t} \left(\frac{\rho u^2}{2} + \rho e \right) = - \left(h + \frac{u^2}{2} \right) \operatorname{div} \rho \mathbf{u} - \rho (\mathbf{u} \nabla) \left(h + \frac{u^2}{2} \right)$$

Ebből:
$$\frac{\partial}{\partial t} \left(\frac{\rho u^2}{2} + \rho e \right) = - \operatorname{div} \left\{ \rho \mathbf{u} \left[\frac{u^2}{2} + h \right] \right\}$$

Fizikai jelentés, ha integráljuk:

$$\frac{\partial}{\partial t} \int \left(\frac{\rho u^2}{2} + \rho e \right) dV = - \int \operatorname{div} \left\{ \rho \mathbf{u} \left(\frac{u^2}{2} + h \right) \right\} dV = - \oint \rho \mathbf{u} \left(\frac{u^2}{2} + h \right) d\mathbf{f}$$

A térfogatelem energiaváltozása a kimenő energia:

a felületi integrál alatti tag az energia-áramsűrűség vektor.

A jobb oldalon lehet entalpia helyett energiát is használni.

$$- \oint \rho \mathbf{u} \left(\frac{u^2}{2} + h \right) d\mathbf{f} = - \oint \rho \mathbf{u} \left(\frac{u^2}{2} + e \right) d\mathbf{f} - \oint p \mathbf{u} d\mathbf{f} = I + II + III$$

I. kinetikus energia

II. belső energia

III. folyadék nyomása által végzett munka

Az energia-egyenlet felírható a belső energiával + a külső forrás által adott Q energiával:

$$\frac{\partial}{\partial t} \left(\rho e + \rho \frac{u^2}{2} \right) = -\nabla \left[\rho \mathbf{u} \left(e + \frac{u^2}{2} \right) + p \mathbf{u} \right] + \rho Q$$

Kontinuitás+ Euler+energia-egyenletek : 5 db, 5 ismeretlenre,
 ρ, p, u_x, u_y, u_z Feltétel: Q ismert külső forrás, $e(p, \rho)$ ismert
(állapotegyenlet)

Ekkor a hidrodinamikai egyenletek megoldhatók.

Plazma állapotegyenlet

A plazma tekinthető egyatomos gáznak, ami n ionból és nZ elektrontól áll.

Ideális gázra az állapotegyenlet: $p=(1+z)nkT$. Az egyatomos gázban a belső energia $\varepsilon=3/2nkT$, hasonlóan a Z -szer ionizált plazmára

$$\varepsilon = \frac{3(1+Z)}{2}nkT = \frac{3}{2}p.$$

Bevezethető a plazmasűrűség, $\rho=nMA$, ahol M a protontömeg és A az atomsúly.

Az állandó térfogaton vett c_V fajhővel:

$$\varepsilon = \rho c_V T, \quad \text{ahol} \quad c_V = \frac{3(1+Z)k}{2AM} = \frac{3(1+Z)}{2A}R$$

ahol $R=k/M=8.3*10^7 \text{erg/gK}$ a gázállandó. Ekkor az állapotegyenlet: $\frac{p}{\rho} = \frac{2}{3}c_V T$.

Magas hőmérsékletű plazmában termodinamikai egyensúly esetén a feketetest sugárzás dominál, $u=aT^4$ ($a=7.67*10^{-15} \text{erg/cm}^3\text{K}^4$). A sugárzási nyomás, $p=u/3$,

Ezért $pT^{-4} = \text{const}$.

Ideális gáz adiabatikus változására: $pT^{-\gamma/(\gamma-1)} = \text{const}$, ahol $\gamma = c_p / c_V$

Plazmára az egyatomos gázhoz hasonlóan $\gamma=5/3$, és $pT^{-5/2} = \text{const}$

Sugárzás dominanciája esetében viszont $\gamma=4/3$, és $pT^{-4} = \text{const}$

Euler- és Lagrange-koordináták

Eddig tér- és időkoordináták (Euler)

Egydimenziós áramlás (többdim. bonyolult): Lagrange-koordináták.

Nem térbeli pontot, hanem folyadék-részecskét jelöl, ahhoz kötött mennyiségeket vizsgál. Könnyebben megoldható, szimmetrikus egyenleteket ad.

Részecske leírása: referenciahelytől elválasztó össztömeg: m .

Síkbeli áramlás (egyszerű):

x : Euler-koordináta, x_1 referencia (pl. gáz-vákuum határ)

$$m = \int_{x_1}^x \rho dx \quad \text{a referencia és a folyadék-rész közti tömeg}$$

$dm = \rho dx$ Lagrange- vagy tömeg-koordináta:

Kontinuitás-egyenlet: ($V=1/\rho$)

$$\frac{\partial \rho}{\partial t} + \frac{\partial}{\partial x}(\rho u) = 0 \quad \frac{\partial V}{\partial t} = \frac{\partial u}{\partial m}$$

Kontinuitás egyenlet: $\frac{\partial V}{\partial t} = \frac{\partial u}{\partial m}$

Mozgásegyenlet: $\frac{\partial u}{\partial t} = -\frac{\partial p}{\partial m}$

Energiaegyenlet nem változik: $\frac{\partial e}{\partial t} + p \frac{\partial V}{\partial t} = Q,$

$$\frac{\partial S}{\partial t} = 0$$

(az utóbbi, ha nincs forrás,
termodinamikai egyensúly)

Ideális gáz: $pV^\gamma = f[S(m)]$

izentropikus esetben : $pV^\gamma = const$

Végeredmény (szimuláció) transzformáció Euler-koordinátákra

Hidrodinamikai egyenletek leírják:

- hanghullám
- ritkulási hullám
- egyszerű hullámok

Példa: hanghullámok

Kis zavarok terjedése: Hangsebesség származtatása.

Legyen $\rho = \rho_0 + \Delta\rho$, $p = p_0 + \Delta p$,

$\Delta\rho$, Δp , u kicsi, első rendű perturbációszámítás:

$$\frac{\partial \Delta\rho}{\partial t} = -\rho_0 \frac{\partial u}{\partial x}$$

$$\rho_0 \frac{\partial u}{\partial t} = -\frac{\partial p}{\partial x} = -\left(\frac{\partial p}{\partial \rho}\right)_s \frac{\partial \Delta\rho}{\partial x} \quad (\text{izentropikus feltételezés : } \Delta p = \left(\frac{\partial p}{\partial \rho}\right)_s \Delta\rho)$$

Állítás : $c^2 = \left(\frac{\partial p}{\partial \rho}\right)_s$ a perturbálatlan folyadékban. A 2 egyenletből:

$$\frac{\partial^2 \Delta\rho}{\partial t^2} = -\rho_0 \frac{\partial^2 u}{\partial x \partial t} = c^2 \frac{\partial^2 \Delta\rho}{\partial x^2}.$$

Ez a hullámgörbe, u -ra szintén levezethető.

Általános megoldás: $\Delta\rho = \Delta\rho(x \pm ct)$, hasonlóan p -re és u -ra, ahol c a fent definiált hangsebesség.

Monokromatikus hanghullámok:

$$f=A\cos(\omega/c x - \omega t), \text{ vagy } f=A\exp[-i \omega(t-x/c)]$$

Minden zavar Fourier-integrálba fejthető monokromatikus hullámok összege.

Hallható: $v=20-20000$ Hz ($\lambda=15\text{m} - 1.5$ cm)
levegő: $c\sim 330\text{m/s}$ ($\gamma=1.4$)

Példák:

Legerősebb hang esetén a sűrűségváltozás

(a szimfonikus zenekar fortissimojának százezerszerese):

a kezdeti sűrűség 0.4%-a, nyomásváltozás 0.56%

igen kis perturbáció, a levegő részecskéje is kicsit mozdul csak el.

Hangerősség:

$$\varepsilon \propto \rho^2, \varepsilon \propto p^2$$

Decibel (logaritmikus): fül érzékenysége 0 küszöbű.

n dB intenzitásnövekedés $\varepsilon \sim 10^{n/10}$

Pl. falevél susogása ~ 10 dB,

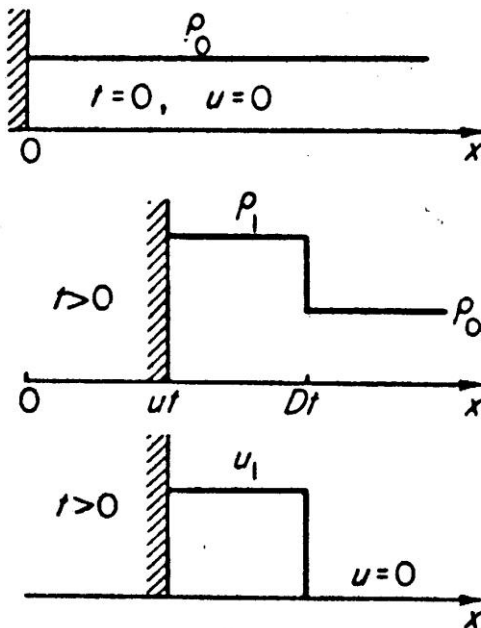
fortissimo

~ 80 dB

10^7 energiakülönbség

Lökéshullámok alapfogalmai

- Ha tágul az anyag, ritkulási hullám keletkezik. Ha viszont összenyomjuk, az anyag feltorlódik
- Centrálított kompressziós hullám nem létezik, szakadási felületek keletkeznek, lökéshullámok.
- Megmaradási tételek a szakadási felületekre



Lökéshullámfront D sebességű vonatkoztatási rendszerében:

$$u_0 = -D$$

$$u_1 = u - D$$

Tömegmegmaradás: $\rho_1 u_1 = \rho_0 u_0$

Impulzusmegmaradás: $p_1 + \rho_1 u_1^2 = p_0 + \rho_0 u_0^2$

Energia-megmaradás:

$$e_1 + p_1/\rho_1 + u_1^2/2 = e_0 + p_0/\rho_0 + u_0^2/2$$

Ehhez jön az $e(p, \rho)$ vagy $h(p, \rho)$ ismerete.

$$\frac{V_0}{V_1} = \frac{u_0}{u_1},$$

Áramlási sebesség:

$$u_0^2 = V_0^2 \frac{p_1 - p_0}{V_0 - V_1},$$

$$|u| = u_0 - u_1 = [(p_1 - p_0)(V_0 - V_1)]^{1/2}$$

$$u_1^2 = V_1^2 \frac{p_1 - p_0}{V_0 - V_1}$$

Ezt az energia-egyenletbe behelyettesítve kapjuk az Hugoniot-egyenletet:

$$e_1(p_1, V_1) - e_0(p_0, V_0) = \frac{1}{2}(p_1 + p_0)(V_0 + V_1) \text{ vagy}$$

$$h_1 - h_0 = \frac{1}{2}(p_1 - p_0)(V_0 + V_1)$$

Ha az állapotegyenlet ismert, akkor

$p_1 = H(V_1, p_0, V_0)$ explicit kifejezhető.

2 paraméter: p_0, V_0

A közönséges izentrop csak egyparaméteres ($p = p(V, S)$)

Ideális gáz eset:

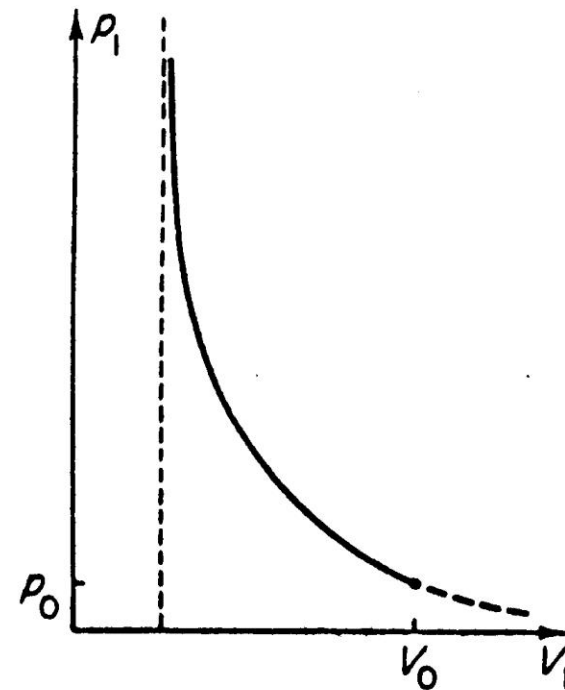
$$e = c_v T = \frac{1}{\gamma - 1} pV; \quad h = c_p T = \frac{\gamma}{\gamma - 1} pV$$

$$\frac{p_1}{p_0} = \frac{(\gamma + 1)V_0 - (\gamma - 1)V_1}{(\gamma + 1)V_1 - (\gamma - 1)V_0},$$

$$\frac{T_1}{T_0} = \frac{p_1 V_1}{p_0 V_0},$$

$$u_0^2 = \frac{V_0}{2} [(\gamma - 1)p_0 + (\gamma + 1)p_1]$$

$$u_1^2 = \frac{V_0}{2} \frac{[(\gamma + 1)p_0 + (\gamma - 1)p_1]^2}{[(\gamma - 1)p_0 + (\gamma + 1)p_1]}$$



$p_1 < p_0$ elérhetetlen

Nagyon erős lökeshullám:

$p_1 > p_0$

Határ: $\frac{p_1}{p_0} = \frac{V_0}{V_1} = \frac{\gamma + 1}{\gamma - 1} = 4$ ($\gamma = \frac{5}{3}$ egyatomos gáz)

Ekkor a p_1/p_0 nevezője 0.

$$c^2 = \left(\frac{\partial p}{\partial \rho} \right)_s = \gamma p V,$$

$$\left(\frac{u_0}{c_0} \right)^2 = \frac{\gamma - 1 + (\gamma + 1)p_1 / p_0}{2\gamma} > 1 \text{ szuperszonikus,}$$

$$\text{úgy } \frac{u_1}{c_1} < 1 \text{ szubszonikus}$$

Az entrópia ideális gázban $S = c_V \ln pV^\gamma$

$$S_1 - S_0 = c_V \ln \left\{ \frac{p_1 \left[(\gamma - 1)p_1 / p_0 + (\gamma + 1) \right]^\gamma}{p_0 \left[(\gamma + 1)p_1 / p_0 + (\gamma - 1) \right]} \right\}$$

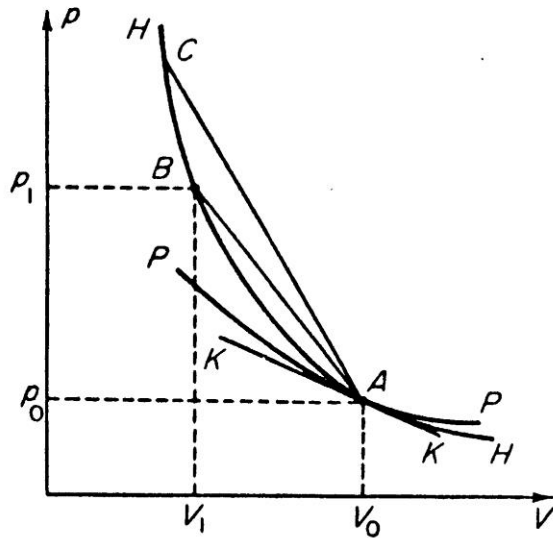
Gyenge lökeshullámnál $p_1 \sim p_0$, $S_1 \approx S_0$

erős eset: $p_1 \sim p_0 \rightarrow \infty$, $S_1 - S_0 \rightarrow \infty$

A lökeshullám disszipatív.

Entrópia-növekedés független a disszipációs folyamattól, makroszkopikus leírásban csak a megmaradási törvények határozzák meg.

Összehasonlítás izentroppal



PP': izentrop
HH: Hugoniot

Konvex, nem ideális gázra is

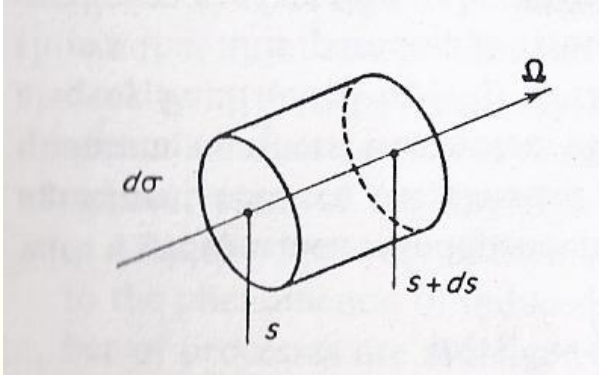
Hugoniot és izentrop érintője azonos

Hugoniot alatt nagyobb görbe alatti terület: disszipáció
Izentropikus változás leginkább több, egymást követő
Lökéshullámmal közelíthető meg.
Ez kell a lézerfúzióhoz!!

Sugárzási transzportegyenlet

Kinetikus egyenlet a foton eloszlásfüggvényre.

vagy az intenzitásra, $I \sim h \nu c f$



Tekintsük a ν frekvenciájú, Ω irányba egységnyi térszögben és egységnyi frekvencia-intervallumban terjedő sugárzást. Feltételezünk egy ds hosszúságú és $d\sigma$ átmérőjű hengert.

$$I_\nu(\Omega, r, t) d\sigma dt$$

$$(I_\nu + dI_\nu) d\sigma dt$$

$$dI_\nu = \frac{\partial I_\nu}{\partial t} \frac{ds}{c} + \frac{\partial I_\nu}{\partial s} ds$$

bal oldalról érkezik a hengerbe.
a hengert a jobb oldalon hagyja el.

a térbeli és időbeli változás

Változást a hengerben történő abszorpció és emisszió okozhat.

$$\text{Emisszió: } j_\nu \left(1 + \frac{c^2}{2h\nu^3} I_\nu \right) d\sigma ds dt$$

$$\text{Abszorpció: } \kappa_\nu I_\nu d\sigma ds dt$$

A sugárzási transzport egyenlete 2.

Egyensúlyi feltétel a hengerben:

$$\frac{1}{c} \left(\frac{\partial I_\nu}{\partial t} + c \frac{\partial I_\nu}{\partial s} \right) = \frac{1}{c} \left(\frac{\partial I_\nu}{\partial t} + c \Omega \cdot \nabla I_\nu \right) = j_\nu \left(1 + \frac{c^2}{2h\nu^3} I_\nu \right) - \kappa_\nu I_\nu$$

Kirchhoff törvénye: $\frac{j_\nu}{\kappa_\nu} = \frac{2h\nu^3}{c^2} e^{-h\nu/kT}$ a jobb oldal átírható

$$j_\nu - \kappa_\nu \left(1 - e^{-h\nu/kT} \right) I_\nu$$

Az indukált emisszió csökkenti az abszorpciót!

Definiálva: $\kappa'_\nu := \kappa_\nu \left(1 - e^{-h\nu/kT} \right)$ a Kirchhoff törvény módosul:

$$j_\nu = \kappa'_\nu I_{\nu p} \quad \text{ahol } p \text{ jelzi a Planck intenzitást}$$

A sugárzási transzport-egyenlet: $\frac{1}{c} \frac{\partial I_\nu}{\partial t} + \Omega \cdot \nabla I_\nu = \kappa'_\nu \left(I_{\nu p} - I_\nu \right)$

vagy integrálva a térszögre: $\frac{\partial U_\nu}{\partial t} + \nabla \mathbf{S}_\nu = c \kappa'_\nu \left(U_{\nu p} - U_\nu \right)$

A sugárzási energia megmaradását fejezi ki, kontinuitás típusú egyenlet egy meghatározott frekvenciára, az egyensúlyhoz való közeledést írja le.

Az egyensúly megközelítése

STE: parciális differenciálegyenlet. Feltételezzük, hogy a közeg végtelen, hideg amelyet $t=0$ -kor hirtelen T hőmérsékletre fűtünk.

A térbeli gradiens 0, κ , I_{vp} konstans.

$$I_{\nu}(t) = I_{vp} \left(1 - e^{-c\kappa'_{\nu}t} \right)$$

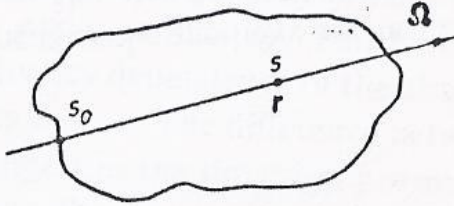
Az intenzitás közelít az egyensúlyhoz, a relaxációs idő

$$t_p = 1 / c\kappa'_{\nu} = l'_{\nu} / c = l_{\nu} \left(1 - e^{-h\nu/kT} \right) c$$

ahol l a sugárzás szabad úthossza.

STE stacionárius eset

T, ρ, I időfüggetlen, ekkor I csak T -től és κT és ρ -tól függ.



$$\frac{dI_v}{ds} + \kappa'_v I_v = \kappa'_v I_{vp}$$

A lineáris differenciálegyenlet integrálható:

$$I_v(s) = \int_{s_0}^s \kappa'_v I_{vp} \exp\left[-\int_{s'}^s \kappa'_v ds''\right] ds' + I_{v0} \exp\left[-\int_{s_0}^s \kappa'_v ds''\right]$$

I_{v0} integrációs állandó,
a külső forrás.

A külső forrás abszorpcióval gyengül, az emittált sugárzás parciálisan abszorbeálódik.

Általános eljárás: Hidrodinamika, szimuláció átlagolt κ -val, T és ρ meghatározása.

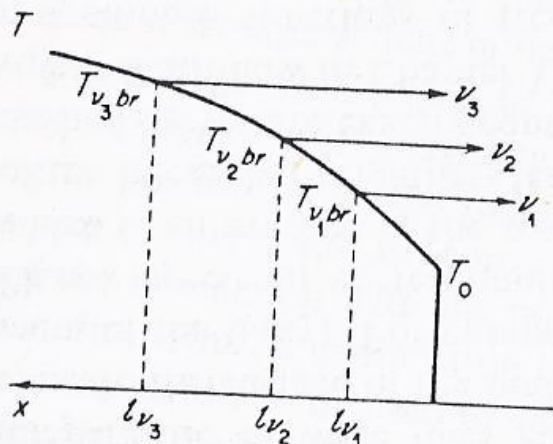
A sugárzási transzport-egyenlet megoldása: részletes spektrum.

A nem egyenletesen fűtött anyag sugárzási hőmérséklete

Az effektív sugárzási hőmérséklet a „**brightness temperature**” $T_{\nu,br}$:
Egy tökéletesen fekete test a felületéről ugyanannyi sugárzást bocsájt ki,
egy adott frekvencia-tartományban, mint a teljes test:

$$S = \sigma T_{br}^4$$

Sugárzási spektrum és frekvencia-függés optikailag sűrű testnél:



A sugárzás a felülethez közeli tartományból jön ki,
azaz ahol $\tau = \int \kappa dx \sim 1$.

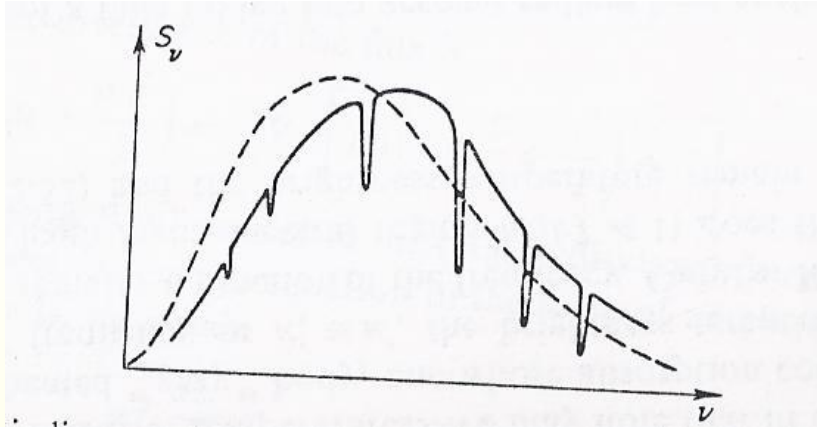
A többi foton abszorbeálódik.

Ha adott ν esetén κ nagy, akkor a fotonok egy
felülethez közeli hideg réteget látnak.

Kisebb κ esetén jöhetnek mélyebb rétegekből.

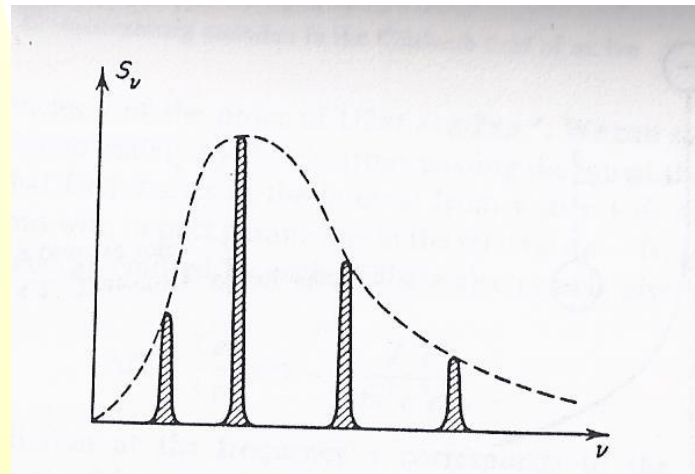
Az erősen abszorbeált frekvenciákra a sugárzási hőmérséklet alacsonyabb,
mint a gyengébben abszorbeáltakra.

A felület felé csökkenő hőmérsékletű test abszorpciós koefficiense inverz módon változik a frekvenciával, úgy hogy a kisebb frekvenciák erősebben abszorbeálódnak.

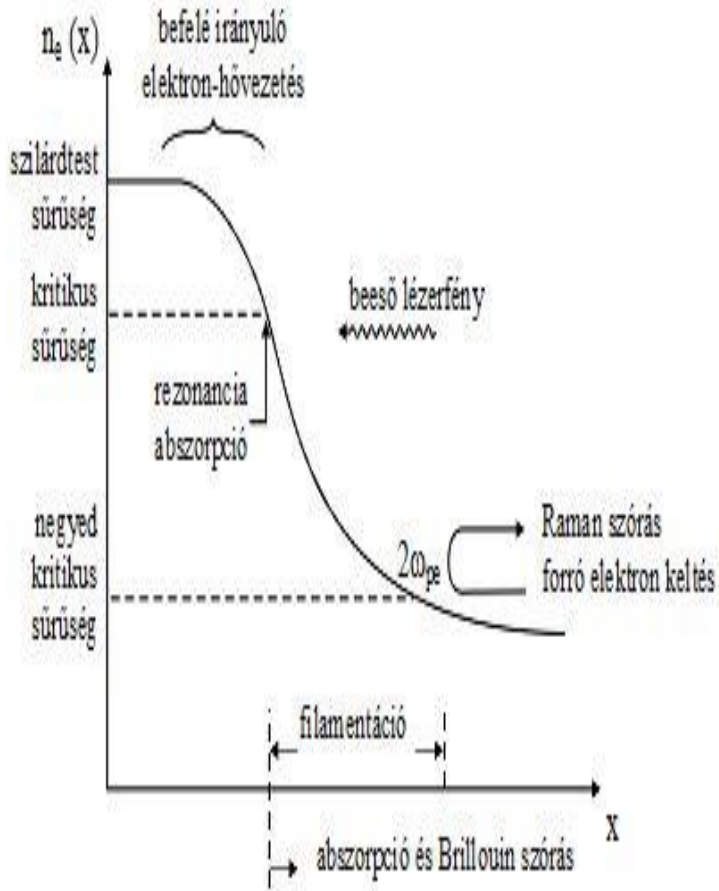


A diszkrét abszorpciós vonalak belevágnak a spektrumba.

Optikailag ritka közeg esetén csak a vonalak közelítik meg a Planck-határt, mivel épp a vonalakon nagy az abszorpció.



Valódi plazmaprofil



Valódi lézerplazma kölcsönhatásokkor a sűrűségprofil valahogy így néz ki. Adott hullámhosszú lézerre

$$n_c = 1.1 \cdot 10^{21} \left(\frac{1 \mu m}{\lambda} \right)^2 \text{ cm}^{-3}.$$

A hőmérséklet néhány eV az összenyomott szilárdtestben, keV nagyságrendű a koronában. A karakterisztikus sebesség a hangsebesség

$$v \cong c_s \cong \sqrt{Z T_e / M_i} \quad (n_e = n_c).$$

$$L \cong \min(c_s \tau_L, R_{eff}).$$

Gradiensek, plazma méret:

Elektromágneses hullám terjedése inhomogén plazmában

Lineáris sűrűségprofil:

Nem Vlaszov- (stat. fiz.), hanem hidrodinamikai egyenletből indulunk ki

$$\mathbf{E} = \mathbf{E}_0(\mathbf{x})e^{-i\omega t},$$

Euler - egyenletben (mozgásegyenlet), u a folyadék sebessége
elhanyagoljuk : $\mathbf{u}_e \cdot \nabla \mathbf{u}_e$, $\mathbf{u}_e \times \mathbf{B}$ tagokat, első rendben

$$\frac{\partial \mathbf{u}_e}{\partial t} = -\frac{e}{m} \mathbf{E} e^{-i\omega t}$$

$$\mathbf{J} = -n_0(\mathbf{x})e\mathbf{u}_e$$

$$\Rightarrow \frac{\partial \mathbf{J}}{\partial t} = -n_0(\mathbf{x})e \frac{\partial \mathbf{u}_e}{\partial t} = \frac{\omega_{pe}^2(\mathbf{x})}{4\pi} \mathbf{E}$$

$$\Rightarrow \mathbf{J} = \frac{i\omega_{pe}^2(\mathbf{x})}{4\pi\omega} \mathbf{E} = \sigma \mathbf{E}$$

Faraday- és Ampere-törvényt alkalmazva:

$$\nabla \times \mathbf{E} = \frac{i\omega}{c} \mathbf{B}$$

$$\nabla \times \mathbf{B} = \frac{4\pi}{c} \sigma \mathbf{E} - \frac{i\omega}{c} \mathbf{E} = \frac{i\omega}{c} \varepsilon \mathbf{E},$$

$$\varepsilon = 1 - \frac{\omega_{pe}^2}{\omega^2}$$

A hullámegyenlet \mathbf{E} -re és \mathbf{B} -re:

$$\nabla^2 \mathbf{E} - \nabla(\nabla \cdot \mathbf{E}) + \frac{\omega^2}{c^2} \varepsilon \mathbf{E} = 0$$

$$\nabla^2 \mathbf{B} + \frac{\omega^2}{c^2} \varepsilon \mathbf{B} + \frac{1}{\varepsilon} \nabla \varepsilon \times (\nabla \times \mathbf{B}) = 0.$$

Homogén eset:

$$\nabla \varepsilon = 0, \quad \nabla \cdot \mathbf{E} = 0.$$

A 2 egyenlet azonos.

$\mathbf{E}(\mathbf{x}) \propto e^{i\mathbf{k}\mathbf{x}}$ esetén visszacapjuk:

$$\omega^2 = \omega_{pe}^2 + k^2 c^2.$$

Inhomogén, 1-dimenziós eset, merőleges beesés:

$$n_0 = n_0(z)$$

$$\varepsilon = \varepsilon(\omega, z)$$

$$\mathbf{E}(\mathbf{x}) = \mathbf{E}(z) \exp(-i\omega t)$$

$$\frac{d^2}{dz^2} E_{x,y} + \frac{\omega^2}{c^2} \varepsilon E_{x,y} = 0$$

$$\varepsilon E_z = 0$$

B-re hasonló:

$$\frac{d^2}{dz^2} B_{x,y} + \frac{\omega^2}{c^2} \varepsilon B_{x,y} - \frac{1}{\varepsilon} \frac{d\varepsilon}{dz} \frac{dB_{x,y}}{dz} = 0$$
$$\frac{dB_z}{dz} = 0$$

$$\text{Legyen } n = n_{cr} \frac{z}{L}, \quad n_{cr} = \frac{m\omega^2}{4\pi e^2}$$

$$\Rightarrow \frac{d^2 E}{dz^2} + \frac{\omega^2}{c^2} \left(1 - \frac{z}{L}\right) E = 0.$$

Változó transzformáció :

$$\eta = \left(\frac{\omega^2}{c^2 L}\right)^{1/3} (z - L),$$

$$\Rightarrow \frac{d^2 E}{d\eta^2} - \eta E = 0.$$

Inhomogén 1-dimenziós eset, merőleges beesés:

A megoldás : Airy függvény

$\eta < 0$ esetén állóhullám!

A visszavert nyalábban fázistolással.

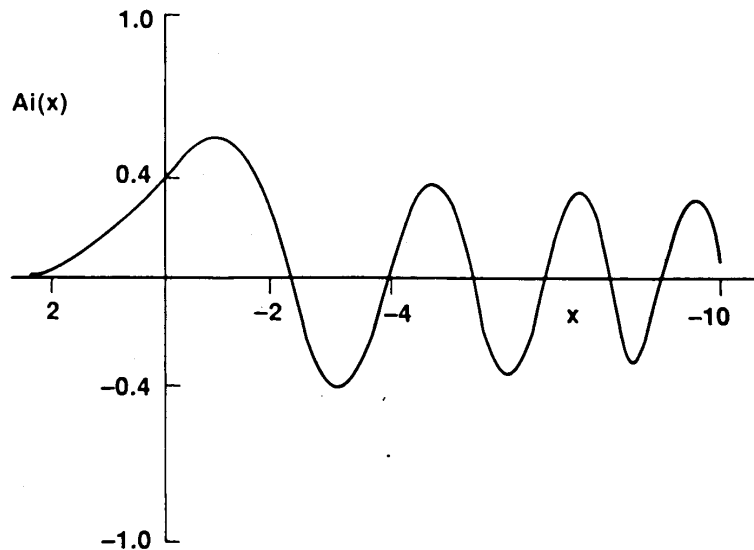


Figure 3.1 A plot of the Airy function $A_i(x)$.

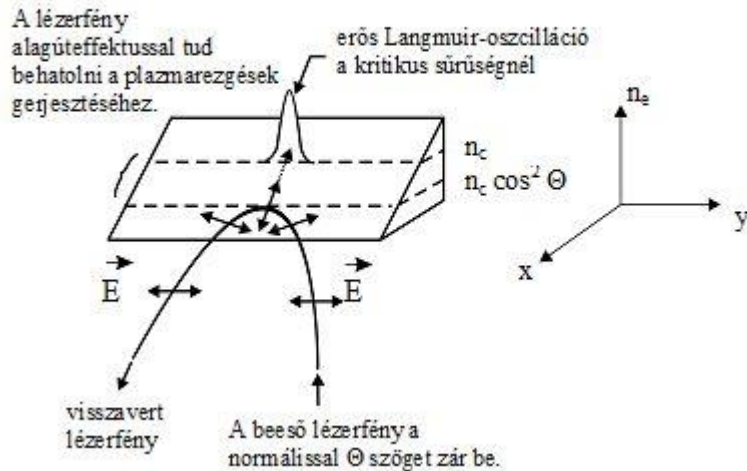
$$E(\eta) = \alpha A_i(\eta) + \beta B_i(\eta)$$

$\eta < 0 \Rightarrow$ állóhullám

$\eta \rightarrow \infty$ bomlás

$B_i(\eta) \rightarrow \infty (\eta \rightarrow \infty) \Rightarrow$ Legyen $\beta = 0!$

Rezonancia-abszorpció

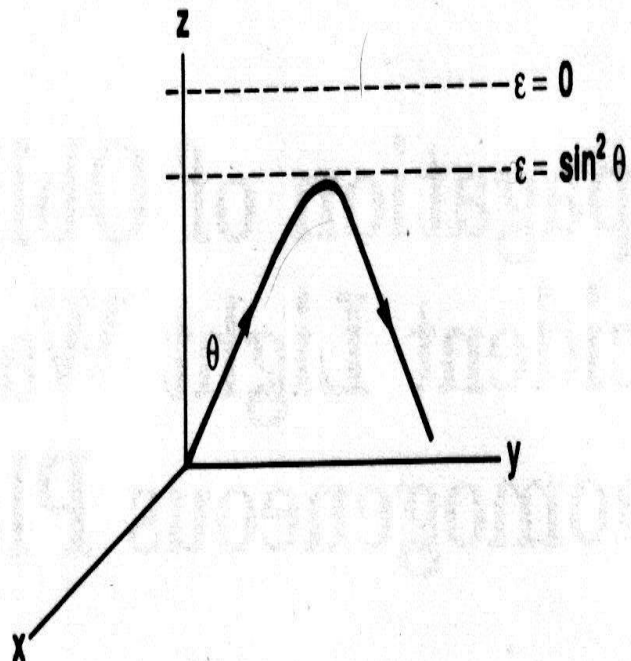


- Ferde beesés esetén a lézerfény rezonancia plazma-oszcillációkat gerjeszthet a kritikus felületen. Az elektrosztatikus plazmarezgések ütközéses vagy ütközésmentes csillapodása a plazma termikus energiáját növeli még akkor is, ha a klasszikus v_{ei} kicsi.
- Magas hőmérséklet (nagy intenzitás), hosszú hullámhossz (n_c kicsi) és rövid skálahossz (rövid impulzus) esetén erősebb lehet az inverz fékezési sugárzásnál.

Ha létezik $E_x \parallel \nabla n$ komponens \rightarrow
töltéssűrűség-fluktuáció \rightarrow
elektron oszcilláció \rightarrow Langmuir hullám.

Definíció: s-polarizált (senkrecht) = TE
nincs ilyen komponens
p-polarizált (parallel) = TM van!

Egyszerűbb eset: ferdén beeső s-polarizált fény



A fény visszaverődik, ha

azaz ha $\omega_{pe} = \omega \cos \theta$, azaz $n = n_c \cos^2 \theta$

azaz a kritikusnál kisebb sűrűségnél.

Korábbi példa: $n_e = n_{cr} z/L$ esetén $z = L \cos^2 \theta$ -nál verődik vissza.

2019.03.25. Ekkor az Airy-függvény innen indul, nem $z=L$ -nél.

- $E = E_x(y, z)$; yz a beesési sík.

Mivel az ε a z függvénye, a k_y megmarad

$$k_y = \frac{\omega}{c} \sin \theta$$

$$E_x = E(z) \exp\left(\frac{i \omega y \sin \theta}{c}\right) \quad \text{behelyettesítve:}$$

$$\frac{d^2 E(z)}{dz^2} + \frac{\omega^2}{c^2} (\varepsilon(z) - \sin^2 \theta) E(z) = 0.$$

$$\varepsilon(z) = \sin^2 \theta, \quad = 1 - \omega_{pe}^2 / \omega^2$$

Ferdén beeső p-polarizált fényre rezonancia-abszorpció

- $\mathbf{E} = E_y \mathbf{y} + E_z \mathbf{z}$
- Poisson-egyenlet: $\nabla(\varepsilon \mathbf{E}) = 0 \Rightarrow$
 $\varepsilon \nabla \cdot \mathbf{E} + \nabla \varepsilon \cdot \mathbf{E} = 0$;
$$\nabla \cdot \mathbf{E} = -\frac{1}{\varepsilon} \frac{\partial \varepsilon}{\partial z} E_z$$

innen

Nemlineáris válasz (rezonancia) $\varepsilon = 0$, $\omega_{pe} = \omega$ esetén.

Az elektronoszilláció ui. töltéssűrűség-fluktuációt kelt.

$$\delta n = n_e(\mathbf{x} + \mathbf{x}_{os}) - n_e(\mathbf{x}) \cong \mathbf{x}_{os} \cdot \nabla n_e,$$

ahol a jól ismert módon $\mathbf{x}_{os} = \frac{e\mathbf{E}}{m\omega^2}$

$\omega_{pe} = \omega$ esetén ez rezonáns válasz ad a kritikus felületen.

Bár ferde beesésnél $n_e < n_{cr}$ \mathbf{E} tunnelezhet a kritikus sűrűségig.

E_z kritikus sűrűség körüli meghatározásához tek. a mágneses teret:

p-pol.: $\mathbf{B} = x B_x$, amire megint megmarad $k_y = \frac{\omega}{c} \sin \theta$

$$\mathbf{B} = \mathbf{x}B(z)\exp(-i\omega t + \frac{i\omega y \sin \theta}{c})$$

Az elektromos teret ebből Ampere-törvényével:

$$\nabla \times \mathbf{B} = -\frac{i\omega}{c} \varepsilon \mathbf{E} \quad \text{amiből} \quad E_z = \frac{\sin \theta B(z)}{\varepsilon(z)}$$

Erős csúcs van a kritikus sűrűségnél, ami rezonáns térrel ($E_d/\varepsilon(z)$) fejezzük ki, ahol az E_d -t a kritikus pontnál tekintjük. Fizikailag az a komponens, ami rezgeti az elektronokat a sűrűség-gradiensén keresztül.

Pl. lineáris sűrűség-profil: $n_e = n_c z/L$,

Ekkor B a fordulóponti érték ($B(z=L\cos^2 \theta)$) amit egy exponenciális bomlást kifejező függvénnyel ($e^{-\beta}$) kell szorozni (szkin-effektus):

$$\beta = \int_{L\cos^2 \theta}^L \frac{1}{c} \sqrt{\omega_{pe}^2 - \omega^2 \cos^2 \theta} dz$$

ami lineáris profil esetén

$$\beta = \frac{2\omega L}{3c} \sin^3 \theta$$

Mivel a fordulóponti B kifejezhető az Airy-függvények segítségével és az E_{FS} szabad térbeli elektromos térerősséggel:

$$B(z = L \cos^2 \theta) \approx 0.9 E_{FS} (c / \omega L)^{1/6} \quad \text{és} \quad B(z = L) \approx 0.9 E_{FS} \left(\frac{c}{\omega L} \right)^{1/6} \exp\left(-\frac{2\omega L \sin^3 \theta}{3c}\right)$$

bevezetve a $\tau := (\omega L / c)^{1/3} \sin \theta$ változót

$$E_d = \frac{E_{FS}}{\sqrt{2\pi\omega L / c}} \phi(\tau), \text{ ahol } \phi(\tau) \cong 2.3\tau \exp(-2\tau^3 / 3).$$

A tér eltűnik $\tau \rightarrow 0$ -ra, mivel az elektromos tér komponense a gradiens mentén $\sin \theta$ -val változik. Nagyon nagy τ -ra szintén lecseng, mert a beeső hullámnak nagy távolságon át kellene tunneleznie. A két határ között létezik egy optimális szög, ahol maximális a rezonancia abszorpció (Ginzburg 1964):

$$(\omega L / c)^{1/3} \sin \theta \cong 0.8$$

Ez a heurisztikus közelítés elég pontos.

A tunnelezés helyett Gál Kinga és Varró Sándor az ún. frustrated total absorption fogalmát használták, hasonló eredményt kaptak.

Brunel abszorpció

F. Brunel, 1987: Nem olyan rezonáns rezonancia-abszorpció

Ha intenzív lézersugárzás ferdén esik rá a szilárdtest felületre és meredek sűrűség-gradiens jön létre, abszorpció mehet végbe, ha az elektronok a vákuumba lépnek ki, majd térnek vissza a plazmába $v \sim v_{osc} = eE/m_e c$ oszcillációs sebességgel. Nagy lézerintenzitás, igen meredek eloszlás. Kondenzátor modell: $x \geq 0$ tökéletes vezető, elektron emitter; $x < 0$: vákuum, ahol $E_{ext} = E_0 \sin \omega t$ tér húzza ki az elektronokat $t > 0$ -ban úgy, hogy a felületen megmaradjon a 0 térerősség. Az m -edik, $t = t_m$ -ben emittált részecske a köv. teret látja:

$$E(x_m) = E_{ext} + \Delta E_m,$$

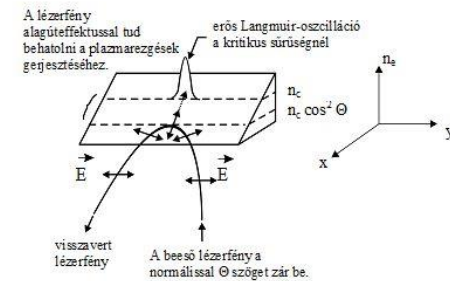
$$\Delta E_m = -4\pi \int_{x_1(t)}^{x_m(t)} n dx$$

ahol n az elektron-sűrűség, x_1 és x_m az első és utolsó részecske pozíciója a Poisson-egyenletben. A részecskék nem előzhetik meg egymást.

→ A ΔE_m integrál időben állandó és meghatározható a kezdeti feltételekből:

$$E(x_m = 0) = E_{ext}(t_m) + \Delta E_m = 0 \quad \text{vagy} \quad \Delta E_m = -E_{ext}(t_m)$$

u.i. a térerősség $x=0$ esetén 0, és $t=t_m$ esetén $x_m=0$.



Brunel abszorpció 2

Így a mozgásegyenlet: $dv_m / dt = -eE / m_e$

$$v_m = v_{osc} (\cos \omega t - \cos \omega t_m) + \omega v_{osc} (t - t_m) \sin \omega t_m$$

$$x_m = (v_{osc} / \omega) (\sin \omega t - \sin \omega t_m) - v_{osc} (t - t_m) \cos \omega t_m + \frac{1}{2} \omega v_{osc} (t - t_m)^2 \sin \omega t_m$$

Megoldva a szilárdtestbe való visszaérkezésre, azaz olyan t -re, amikor $x_m=0$, majd behelyettesítve a sebesség-képletbe megkapjuk a visszatérési sebességet, majd az energiát:

$$W_{abs} \cong \int_{\pi/\omega}^{5\pi/2\omega} \left(\frac{1}{2} m_e v_{m0}^2 \right) (n v_{m0} dt).$$

A sűrűséget x -ből kapjuk meg, ha differenciáljuk a fenti x -re felírt egyenletet és az integrális Poisson-egyenletet Δt_1 szerint:

$$n = 2n_c / (\omega t - \omega t_m)^2$$

ahol n_c a kritikus sűrűség.

Brunel abszorpció 3

A numerikus integrálás megadja az abszorbeált energiát:

$$W_{abs} = \eta \frac{1}{2} N m_e v_{osc}^2 \quad \text{ahol}$$

$N = E_0 / 4\pi e$ a maximuma a vákuumba kirántott elektronok számának.

A numerikus faktor, $\eta=1.57$.

Az abszorbeált teljesítmény: W osztva az időbeli periódussal $2\pi/\omega$:

$$I_{abs} = \frac{\eta}{2\pi} v_{osc} E_0^2 / 8\pi$$

A Brunel és a rezonancia abszorpció összehasonlítása

A Debye hossz az elektrosztatikus tér leárnyékolásának hossza. Ebben az esetben v_{osc}/ω . Ezen tartományon belül a plazma nem semleges, és $v_{osc}/\omega > L$ esetben nincs rezonancia abszorpció.

A rezonancia abszorpció elmélete szerint a felelős térerő (E_p):

$$v_p = (2v_{osc}L\omega)^{1/2} \quad \text{ahol} \quad v_p = eE_p / m\omega$$

Ekkor a maximális E tér rezonancia abszorpció esetén sokkal kisebb, mint a pumpáló tér.

Energia-egyensúly: A rezonáns tér maximális energiája:

$$W_r = (E_p^2 / 8\pi) l \quad \text{ahol } l = v_p/\omega \text{ a hullámtörés karakterisztikus hossza.}$$

Brunel szerint a tér újraépüléséhez idő kell: $t_p \cong (8L / v_{osc}\omega)^{1/2}$

A rezonancia abszorpció: $I_{abs} = W_r / t_p \cong (E_0^2 / 8\pi)L\omega$

Kisebb, mint a Brunel abszorpció, ha $v_{osc}/\omega > L$.

A Brunel és a rezonancia abszorpció összehasonlítása 2.

